

Metodika stanovenia rozpusteného kyslíka v kvasných substrátoch

SOŇA HUNČÍKOVÁ, Katedra technickej mikrobiológie a biochémie
Slovenskej vysokej školy technickej v Bratislave.

554+545.663.14

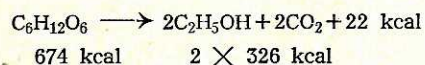
(Diplomovú prácu viedol inž. Ján Hronček, Práca sa previedla v n. p. Kvasný priemysel Trenčín)

Ked' preberáme produkujúce mikroorganizmy jednotlivých priemyselných fermentácií, vidíme, že ide prevažne o aerobné mikroorganizmy, ktoré pre svoju životnú činnosť vyžadujú dostatočný vzdušného kyslíka. Droždiarenská výroba je podmienená dostatočne účinným dodávaním vzduchu — vetraním — počas fermentácie. Spotreba vzduchu ovplyvňuje hospodársky efekt konečného výrobku. Aj u ostatných aerobných fermentácií (výroba antibiotík, submerzné octové kvasenie, výroba krmného droždia a submerznej kyseiny citrónovej) je spotreba vzduchu významnou položkou v kalkulácii výroby a celej výroby.

Pretre sa hľadali spôsoby, ako obmedziť spotrebu energie vynaloženej na vetranie a ako nájsť čo najúčinnejšie zariadenie na dokonalú absorpciu dodávaného kyslíka a ako vytvoriť podmienky biologickej reprodukcie hmoty mikroorganizmov.

Stanovenie okamžitej koncentrácie kyslíka vo vetraných záparach je základom ďalších biologických i ekonomických predpokladov štabilizácie optimálnej výroby, v ktorej sa dá ešte všeličo zlepšiť a zhospodáriť.

Pri odôvodnení potreby vetrania pri výrobe droždia môžeme vychádzať zo základnej rovnice kvasenia a dýchania. Štiepenie cukru na alkohol a CO_2 vyjadruje Gay-Lussacova rovnica:



Skoro celá kalorická hodnota cukru sa využije na tvorbu alkoholu a len zbytok zostáva k dispozícii bunke na stavbu bunečnej hmoty. Pri anaeróbnom spôsobe života má prevahu alkoholické kvasenie a tvorba biomasy je len vedľajším pochodom. Pri dýchaní sa uvoľňuje všetká energia:



Hoci dýchanie a kvasenie prebieha zároveň, úpravou životných podmienok ziskava prevahu jeden z týchto dvoch procesov. Ak kvasinky žijú v aerobných podmienkach, má prevahu dýchanie. Uvoľnená energia môže byť využitá na výstavbu bunečnej substancie.

To je podstatou vetrania droždiarskych zápar a vedenia kvasného procesu hlavne na tvorbu biomasy a len v malej miere na tvorbu alkoholu. Vetraním sa jednak dodáva do kvasiacej záپary kyslík potrebný pre život a rozmnzožovanie kvasiniek, jednak vháňaný vzduch mieša kvasiacu tektutu.

Účinok miešania je jasný, ak si predstavíme, akým spôsobom sa kyslík dostáva do bunky a ako sa zúčastníuje na jej životných pochodoch. Kyslík sa musí dostať najprv zo vzduchu do kvasiacej tektutiny, odtiaľ difunduje cez bunečnú blanu dovnútra bunky a až potom sa zúčastňuje enzymatických pochodov v bunke a vstupuje do jej dýchacieho systému.

Miešanie usnadňuje prísun kyslíka k bunke a súčasne pomáha odstraňovať produkty látkového metabolismu. Príaznivý vplyv vetrania a miešania na rozmnožovanie kvasiniek treba považovať za spoločný.

Správne vetranie vyžaduje účinný vetrací systém a musí zaistovať dostatočnú kyslíku v zápare počas kvasenia. Rozhodujúcim činiteľom nie je množstvo vzduchu, ale účinnosť, s akou je dodávaný vzduch kvasinkami využity. Dôležité je, aby bol vzduch rovnomerne a čo najjemnejšie rozptylovaný v celom objeme zápary a aby sa čím dlhšie stýkal s kvapalnou fázou. Treba dodržať optimálnu dávkhu, lebo kvasinky v preverávaných záparach sú náchyné k degenerácii a dochádza aj ku stratám alkoholu vyfúkaním.

Zo spomenutých príčin sa musí vetranie riadiť tak, aby sa nesledovali len vysoké výtažky, ale aby bol zaručený aj optimálny fyziologický stav kvasiniek a dobrá kvalita vyrobeného droždia.

Skutočnosť, že kvasinky a iné aerobné mikroorganizmy môžu spotrebovať len kyslík rozpustený v kvapalnej fáze (popri nepatrnej spotrebe plynného kyslíka priamo zo vzdušnej bublinky), nútí nás pozerať sa na vetranie kvasných substrátov ako na absorpčný pochod. Ide o absorpciu kyslíka zo vzduchu v kvasiacej tektutine.

Vetraniu pri submerzných fermentáciách je venovaná značná pozornosť v celosvetovom meradle. Je zameraná na štúdium vztahov vyjadrujúcich prestop kyslíka pri fermentácii z hľadiska fyzikálneho chemického, ktoré majú objasniť tento zložitý fyzikálny a súčasne biologický pochod.

Poznanie týchto vztahov by bolo prínosom pri určovaní optimálnych rozmerov nových fermentačných zariadení, optimálnych podmienok vetrania a pri kontrole účinnosti daných vetracích zariadení.

Prestup kyslíka pri vetraní môžeme rozčleniť na tri dielčie pochody:

najprv musí kyslík difundovať z plynnéj fázy (zo vzduchu) do kvapalnej fázy,

potom nasleduje prestop kyslíka kvapalnou fázou k bunke a tretím pochodom odlišného charakteru je účasť kyslíka na enzy-

matických pochodoch prebiehajúcich v živej bunke.

Rýchlosť prestopu kyslíka musí byť tak veľká, aby neboli brzdený metabolismus mikroorganizmov. Bunkám treba v každom okamihu dodať toľko kyslíka, koľko ho stačia spotrebovať.

Optimálne podmienky nastanú vtedy, keď sa celková rýchlosť prestopu kyslíka riadi rýchlosťou posledného dielčeho pochodu, čiže rýchlosťou chemickou. Vtedy platí, že kyslík je na jednej strane dodávaný takou rýchlosťou, akou je na druhej strane spotrebovaný. To znamená, že celková rýchlosť prestopu kyslíka sa rovná rýchlosťi chemickej, alebo je vyššia. Tento vzťah môže byť vyjadrený rovnicou:

$$r_o = r_c ,$$

kde:

r_o = rýchlosť prestopu kyslíka z plynu do kvapaliny a z kvapaliny do bunky,

r_c = rýchlosť tretieho dielčeho pochodu.

Experimentálne určenie týchto dvoch rýchlosťí by bolo veľmi obťažné.

Ked' si označíme rýchlosť spotreby kyslíka váhovou jednotkou bunečnej suspenzie k_r , sušinu bunečnej suspenzie vyjadrenú v g/1 C_m, potom celková rýchlosť spotreby kyslíka je:

$$r_r = k_r \cdot C_m$$

Kyslík je na jednej strane spotrebovaný rýchlosťou r_r , na druhej strane sa do substrátu dodáva rýchlosťou r_d , ktorá charakterizuje rýchlosť prestopu kyslíka cez stýčný povrch plynnnej a kvapalnej fázy.

Potom platí:

$$r_d = k_g \cdot A (p_g - p_i) = k_L \cdot A (c_i - c_L),$$

kde:

k_g a k_L sú koeficienty prestopu látky v plynnnej a kvapalnej fáze,

A = stýčný povrch fáz,

p_g = parciálny tlak kyslíka v plynnnej fáze,

p_i = parciálny tlak kyslíka na fázovom rozhraní,

c_i = koncentrácia kyslíka na fázovom rozhraní,

c_L = koncentrácia kyslíka v kvapalnej fáze,

$p_g - p_i$ a $c_i - c_L$ zodpovedajú hnacím silám absorpcie v plynnnej a kvapalnej fáze.

Množstvo látky prevedené v časovej jednotke fázovým rozhraním za ustáleného stavu sa musí rovnati množstvu k fázovému rozhraniu v tom istom čase difúziou privedenému a množstvu v druhej fáze difúziou od fázového rozhrania odvedenému.

U zle rozpustných plynov, ku ktorým patrí kyslík, prevláda odpor kvapalnej fázy, takže odpor plynnej fázy môžeme zanedbať ($p_i = p_g$) a pre rýchlosť prestupu kyslíka dostaneme zjednodušený tvar:

$$r_d = k_L \cdot A (c_i - c_L)$$

Pre kyslík platí Henryho zákon, čiže:

$$c_i = H(p_i) \text{ alebo } c_i = H \cdot p_g$$

Styčnú plochu fáz A nemôžeme zmeniť, preto sa do rovníc pre prestup kyslíka zavádzaj nová veličina, a to úhrnný koeficient prestupu látky: $k_d = k_L \cdot A$, takže potom platí vzťah:

$$r_d = k_d (c_i - c_L)$$

Za podmienok rovnovážneho stavu, keď sa rýchlosť prestupu kyslíka zo vzduchu rovná rýchlosťi spotreby kyslíka bunkami, platí:

$$r_c = r_r = r_d$$

alebo:

$$r_o = k_r \cdot C_m = k_d (c_i - c_L)$$

V nerovnovážnom stave, keď dochádza ku časovej zmene koncentrácie rozpusteného kyslíka, musíme počítať s touto zmenu a dostaneme pozmenený vzťah:

$$r_d = r_r - d_{c_L} / dt \text{ a}$$

$$k_d (c_i - c_L) = k_r \cdot C_m - d_{c_L} / dt$$

Absorpčný okeficient k_d závisí od veľkosti styčnej plochy, od doby trvania styku plynnej a kvapalnej fázy, od

intenzity miešania, od tvaru, rozmerov zariadenia a od fyzikálnych vlastností substrátu. Platí vždy pre dané fyzikálne veličiny substrátu. Tieto veličiny vplývaj aj na priebeh fermentácie. Napr.: zmenou povrchového napätia sa zmenia rozmery bublín, a tým aj styčný povrch fáz atď. Podľa hodnoty k_d môžeme porovnať zmeny počas fermentácie, vyvolené zmenou spomenutých veličín.

Keď chceme posúdiť účinnosť vetračného zariadenia a prestupu kyslíka, môžeme vychádzať z hodnoty r_d . Absorpčnú účinnosť si definujeme ako pomer množstva absorbovaného kyslíka k množstvu dodaného kyslíka za jednotku času, čiže:

$$E = r_d / C \cdot 100 \text{ v \% ,}$$

kde:

- E = absorpčná účinnosť,
- r_d = vyjadruje váhové množstvo absorbovaného kyslíka,
- G = vyjadruje váhové množstvo dodaného kyslíka.

Ďalšou dôležitou veličinou je rýchlosť spotreby kyslíka váhovou jednotkou mikroorganizmov, ktorá vyjadruje, kolko rozpusteného kyslíka treba dodat v príslušnom okamihu kvasiacemu substrátu. Keď si graficky znázorníme závislosť poklesu koncentrácie rozpusteného kyslíka na čase v suspenzii kvasiniek, dostaneme krivku, ktorej smernica

$$d_{c_L} / dt$$

zodpovedá respiračnej rýchlosťi. Veličina c_L , vyjadrujúca koncentráciu rozpusteného kyslíka, sa často vyskytuje v rovniciach pre prestup kyslíka. Poznanie tejto veličiny umožňuje riešenie uvedených rovníc a objasnenie dôležitých poznatkov, vyjadrujúcich pomery vo fermentované tekutine počas fermentácie.

Hoci okrem kyslíka sú aj iné faktory

rozhodujúce pri droždiarskej alebo inej aerobnej fermentácii (akoš a zloženie surovín, fyziologický stav kvasiniek a optimálne kultivačné podmienky), predsa vhodná a spoľahlivá metóda na stanovenie rozpusteného kyslíka počas fermentácie by bola krokom k lepšej kontrole tohto biologického procesu.

V literatúre sú uvedené viaceré metódy na stanovenie rozpusteného kyslíka v rôznych materiáloch. Väčšina metód dáva reprodukovateľné a dostačné presné výsledky pre vodu alebo vodné roztoky. V silne vetraných a miešaných substratoch, obsahujúcich živý, dýchajúci organizmus a komplexné farebné zlúčeniny (melasa), nedávajú tieto metódy spoľahlivé výsledky a muselo sa prikročiť k ich úprave.

Metódy na stanovenie rozpusteného kyslíka možno rozdeliť na:

1. *chemické*: založené na chemickej reakcii kyslíka s niektorými látkami. Vo väčšine prípadov ide o farebnú reakciu a množstvo rozpusteného kyslíka sa stanovuje titračne alebo kolorimetricky;

2. *elektrochemické*: hlavné metódy polarografická — založená na schopnosti kyslíka redukovať sa na kvapkovej ortuťovej katóde — a rôzne modifikácie tejto metódy;

3. *fyzikálne-chemické*: založené na meraní zmien tlaku pri rozpúštaní kyslíka v kvapalnej fáze;

4. *metódy nepriameho stanovenia rozpusteného kyslíka*, založené na plynovej analýze pred absorpciou kyslíka a po nej.

I keď niektoré metódy majú spoľahlí princip, nie každá je vhodná na stanovenie rozpusteného kyslíka v kvasných substratoch. Musí sa brat do úvahy druh vzorky a špecifické podmienky, za ktorých má byť analýza prevádzaná.

Experimentálna časť

Vo svojej práci som sa zaoberala týmito metódami:

1. Metódou sulfitovej oxydácie — siričitanový test,
2. Kočergovou metódou,
3. Winklerovou metódou,
4. Polarografickou metódou.

Metoda sulfitovej oxydácie — siričitanový test

Podľa priebehu oxydácie iónu SO_3^{2-} na SO_4^{2-} , katalyzovanej soľami medi, sa posudzuje rýchlosť prestupu kyslíka do vetracej tekutiny a účinnosť vetrania (lit. 13, 15c). Laboratórny fermentačný aparát se naplní presne známym množstvom cca 1 N roztoku Na_2SO_3 (na každý liter roztoku sa pridá 0,26 g $\text{Cu SO}_4 \cdot 5 \text{ H}_2\text{O}$). Množstvo absorbovaného kyslíka sa zistí jódometrickým stanovením nezoxydovaného SO_3^{2-} , ktorý sa nachádza v roztoku na začiatku a na konci určitého času vetrania. Vypočítajte sa úbytok normality roztoku a vyjadriť sa v gramoch prijatého kyslíka na 1 liter roztoku. Mierou účinnosti

vetrania je váhové množstvo kyslíka, prijatého sulfitovým roztokom z každých 100 kg kyslíka vháňaného pri vetraní.

Absorpcia kyslíka bola porovnávaná v štyroch rôznych nádobách (obr. 1) s rôznym zariadením na rozptylovanie vzduchu a účinok međnatého a kobaltnatého katalyzátora.

Popis nádob:

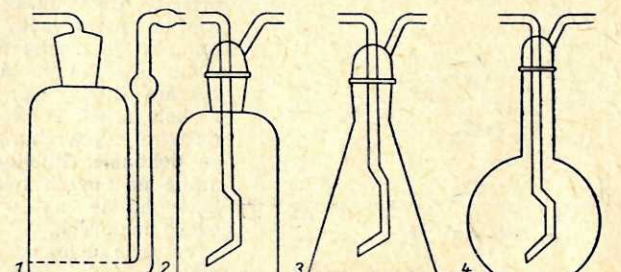
premyvačka s fritovým dnom (Frit G₃),

premyvačka s ponorným fritom (Frit G₂),

Erlenmayerová banka s ponorným fritom (Frit G₂),

varná banka s ponorným fritom (Frit G₂).

Pri všetkých pokusoch boli zachované tieto konštántne podmienky a postup: teplota 30°C — udržiavaná v termóstate, rýchlosť vzduchu 1 liter/min. — meraná rotometrom.



Obr. 1

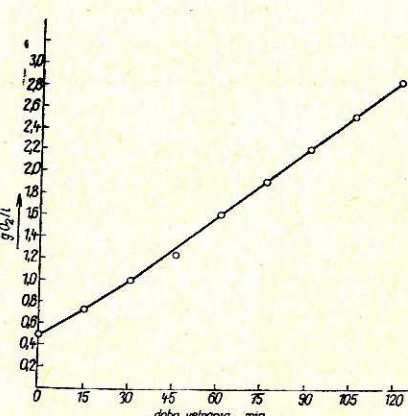
výška hladiny 9,5 cm (objem bol vždy upravený podľa tejto hodnoty, a to:

300 ml, 307,4 ml, 510 ml, 520 ml).

Roztok siričitanu sodného s meďnatým alebo kobaltnatým katalyzátorom bol prevzdušňovaný 1 hodinu. Na začiatku a na konci vetrania bola odoberaná vzorka na stanovenie normality roztoku. Na vyjadrenie časového priebehu oxydácie boli odoberané vzorky v 15-minutových intervaloch bez prerušenia vetrania. Časový priebeh oxydácie je znázornený na obr. 2 (tab. 1).

Ako meďnatý katalyzátor bol používaný $\text{CuSO}_4 \cdot 5 \text{H}_2\text{O}$.

Výsledky pokusov, pri ktorých bol použitý meďnatý katalyzátor, sú zostavene v tab. 2 a znázornené na obr. 2 — Časový priebeh oxydácie $\text{SO}_3^{''} \rightarrow \text{SO}_4^{''}$ prijatým kyslíkom.



Doba vetrania v min.	Spotreba 0,1 N $\text{Na}_2\text{S}_2\text{O}_8$ ml	g O_2 /l
0	3,2	0,509
15	4,6	0,732
30	6,4	1,018
45	8,0	1,272
60	10,3	1,639
75	12,3	1,958
90	14,3	2,277
105	16,3	2,596
120	18,4	2,930

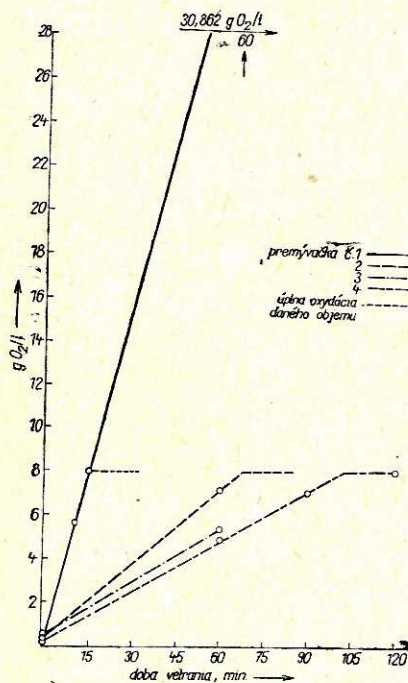
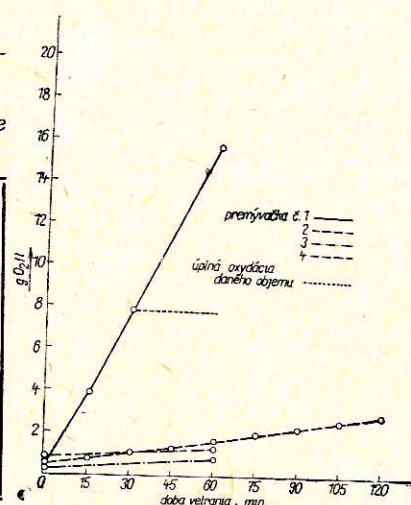
Tabuľka 1.

Číslo	Druh nádoby a vetracieho zariadenia	Užitočný obj. l	Privádzaný vzduch 1/l/hod.	Privádzaný O_2 g/l/hod.	Prijatý O_2 g/l/hod.	Účinnosť vetrania v %
1a	Premývačka s frit. dnem	0,300	200	54,06	14,688	27,160
b		0,300	200	54,06	14,662	27,100
c		0,300	200	54,06	14,600	27,005
2	Premývačka s ponor. fritom	0,307	195,5	52,74	1,131	2,140
3	Erl. banka s ponor. fritom	0,510	117,5	31,80	0,520	1,685
4	Varná banka s ponor. fritom	0,520	115,5	31,19	0,444	1,425

Tabuľka 2.

Pri sledovaní vplyvu kobaltnatého katalyzátora boli zachované tie isté podmienky a postup ako v predošom prípade. Ako katalyzátor bol použitý $\text{Co}/\text{NO}_3 \cdot 6 \text{H}_2\text{O}$ p. a., a to v pomere mol. vah, čiže 0,303 g/1 liter roztoku.

Výsledky pokusov s $\text{Co}^{''}$ katalyzátorom sú v tab. 3 a na obr. 4.

Obr. 4 — Vplyv tvaru nádoby a vetracieho zariadenia. Katalyzátor $\text{Co}^{''}$.

Obr. 3 — Vplyv tvaru nádoby o vetracieho zariadenia. Katalyzátor Cu.

Číslo	Druh nádoby a vetracieho zariadenia	Užitočný objem l	Privádzaný vzduch 1/l/hod.	Privádzaný O_2 g/l/hod.	Prijatý O_2 g/l/hod.	Účinnosť vetrania v %
1	premývačka s fritovým dnem	0,300	200	54,06	30,376	56,4
2	premývačka s ponor. fritom	0,307	195,5	52,74	6,771	12,82
3	Erl. s ponor. fritom	0,510	117,5	31,80	4,822	15,19
4	Varná banka s ponor. fritom	0,520	115,3	31,19	4,628	14,82
5	ako č. 1 bez katalyzátora				6,657	12,30

Tabuľka 3.

Ako vidieť, najväčšia účinnosť vetrania bola dosiahnutá v nádobe 1. Vzduch tu bol rozptylovaný fritom na veľmi jemné bublinky. Plocha fritu sa rovná ploche dna nádoby. Pomer vetracej plochy k výške nádoby je tu najväčší, čiže je najintenzívnejší a najdlhší styk plynnéj a kvapalnej fázy. Celý obsah je počas vetrania dokonale premiešaný, nezostáva žiadny mŕtvy priestor. Oveľa nižšia je vetracia účinnosť u premývačky s ponorným fritom. Tu je plocha fritu proti celkovému prierezu malá, okrem toho sa vytvára mŕtvy priestor pod fritom i okolo stien, bublinky vystupujú veľárovite k povrchu. Premiešavanie nie je dokonalé. Bublinky sú väčšie, ich dráha na povrch tekutiny je kratšia. Ešte horšie sú pomery v druhých dvoch nádobách.

Vetracia účinnosť nejakého zariadenia je teda tým väčšia, čím sú bublinky menšie, lebo tým väčší je

ich celkový povrch, čím je ich dráha dlhšia, lebo tým dlhšia je doba styku plynnej a kvapalnej fázy, a čím väčší je pomer vetracej plochy k celkovej ploche dna a menší priestor pod vetracím zariadením, lebo tým menší je mŕtvy priestor a celý objem je rovnomerne prevzdušňovaný.

Pre analýzy podľa ďalších troch metód boli zvolené nasledujúce podmienky a postup s ohľadom na podmienky, za ktorých prebieha droždiarske kvasenie. Boli použité látky, ktoré sa najviac nachádzajú v kvasných substratoch (a to v primeraných koncentráciách) a majú vplyv na rozpustnosť kyslíka pri vetrani: destilovaná voda, studničná voda, 2% roztok sacharózy, 2% roztok alkoholu, 2% roztok kyseliny octovej, melasa 4° Bg (uvarená a vyčerpaná) a kvasiacia zápara.

Vzorky boli prevzdušňované v premývačke s fritovým dnem.

Množstvo vzorky: 320 ml
výška hladiny: 11 cm
rýchlosť vzduchu: 1 liter/min.
teplota 30°C

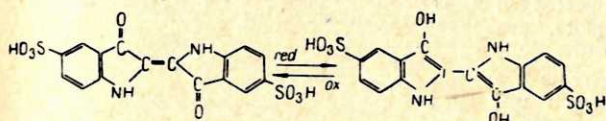
Každou vzorkou bol preháňaný dusík 30 minút, aby sa zavila kyslíka a aby nasycovanie vzoriek vzduchom začalo od približne rovnakej hodnoty. Bola stanovená koncentrácia rozpusteného kyslíka, vzorka bola 15 minút prevzdušňovaná a znova bol stanovený rozpustený kyslík.

Kočergova metóda [8]

Princípom tejto metódy je oxydácia redukovanej bezfarebnej leukoformy indigokarmínu kyslíkom vzorky, pri čom prechádza na farebnú formu.

Vzorka	Doba vetrania min.	b	c	mg O ₂ /l	mg O ₂ /l 9–15 min.	a = 1,21
dest. voda	0	0,01	2,17	0,089		
	15	0,67	1,92	6,75	6,66	
obyč. voda	0	0,03	2,09	0,278		
	15	0,90	1,89	9,26	8,98	
2% sacharóza	0	2,02	2,44	0,15		
	15	0,74	2,34	6,40	6,25	
2% alkohol	0	0,02	1,98	0,196		
	15	0,62	2,56	4,68	4,48	
2% kys. octová	0	0,11	1,58	1,34		
	15	0,40	1,48	5,24	3,90	
melasa 4°Bg	0	0,10	2,15	0,89		
	15	0,66	1,92	6,65	5,76	
zápara (kvásný valec)		0,26	2,08	2,42	—	

Tabuľka 4



Obsah rozpusteného kyslíka sa vypočíta podľa množstva zoxydovaného indigokarmínu.

Roztok indigokarmínu sa najprv zredukuje hydrosiričitanom sodným. Po pridaní vzorky sa ekvivalentná časť kyslíkom zoxyduje. Potom sa znova titruje hydrosiričitanom do žltého zafarbenia a nakoniec sa robí slepý pokus. Množstvo rozpusteného kyslíka sa vypočíta podľa vzorca:

$$Ox = 16 \frac{a \cdot b}{c} \text{ mg/l}$$

kde:

a = spotreba 0,1 N KMnO₄ na titráciu 50 ml indigokarmínu;

b = spotreba hydrosiričitanu sodného na odfarbenie zoxydovaného indigokarmínu;

c = spotreba hydrosiričitanu sodného na slepý pokus.

Schéma prístroja na stanovenie rozpusteného kyslíka podľa Kočergu je na obr. 5.

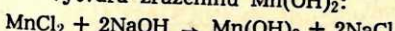
Celé stanovenie sa prevádzka v inertnej atmosfére. Použitý bol dusík. Naamerané hodnoty sú uvedené v tab. 4.

Winklerova metóda

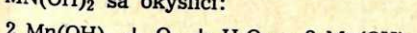
upravená pre kvasiace záparu [9]. Založená je na nasledujúcich chemických reakciach:

roztok NaOH s MnCl₂

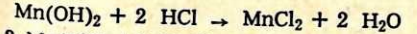
vytvára zrazeninu Mn(OH)₂:



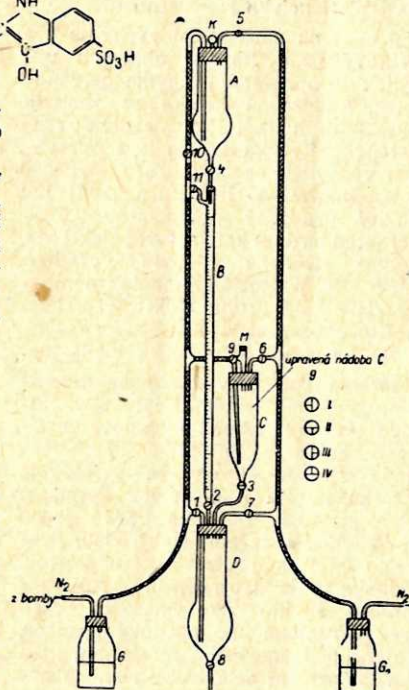
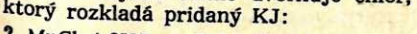
Ak kvapalina obsahuje kyslík, časť Mn(OH)₂ sa okysličí:



Pri rozpustení získanej zmesi hydrátov mangánu v HCl (alebo H₂SO₄) vzniká MnCl₃:



MnCl₃ prevedený do roztoku obsahuje kyslík ľahko uvoľňuje chlór, ktorý rozkladá pridaný KJ:



Obr. 5 — Prístroj na stanovenie kyslíka.

Vzorka	Doba vetrania min.	n ₁ ml	n ₂ ml	mg O ₂ /l	mg O ₂ /l 0–15 min.
Dest. voda	0			0,089	
	15	17,4	14,0	7,56	7,46
Studn. voda	0			0,278	
	15	17,3	14,8	7,27	7,00
Sacharóza 2%	0			0,15	
	15	17,3	10,9	18,58	18,43
Alkohol 2%	0			0,196	
	15	18,1	14,5	10,48	10,28
Kys. octová 2%	0			1,34	
	15	15,1	15,3		
Melasa 4°Bg		7,9	5,5	0,89	
				7,26	6,40
Kvásiaca zápara (nie je totožná so vzorkou analyzovanou metódou Kočergy.)		8,5	7,5	2,909	

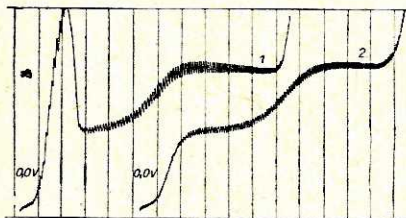
Tabuľka 5

Výsledky pre začiatok vetrania sú posudzované podľa Kočergovej metódy. Titrácia je vhodná pre vodné a bezfarebné roztoky. U melasy a záparí sa ekvivalentný bod ľahko zastihne. Melasa nebola vetrana, lebo pení, posudzovala sa len možnosť titrácie. Veľký rozdiel je vo výsledkoch u sacharózy a alkoholu. Kyslík rozpustený v roztoku kyseliny octovej sa nedá touto metódou stanoviť. V silne kyslom prostredí sa uvoľňuje jód bez vzniku zrazeniny hydroxydov mangánu.

Polarografická metóda

Základom polarografického stanovenia kyslíka je jeho redukcia na kvapkovou ortuťovú katódu, ktorá prebieha v dvoch stupňoch.

Priebeh intenzity prúdu v závislosti od napäťia charakterizuje kyslíkové dvojivlnu. Prvá vlna pri potenciáli 0 až $-0,4$ V, druhá pri potenciáli $-0,8$ až $-1,4$ V. Kyslík tvorí na polarografickej krivke zvláštny zjav — kyslíkové maximum. V prirodených substratoch, akým je aj kvasiacia zápara, je maximum potlačené. V oblasti medzi $-0,4$ až $-0,8$ V je plošina medzi prvou a druhou kyslíkovou vlnou (obr. 6).



Obr. 6

Napätie akumulátora $E = 4$ V
Doba trvania kvapky $t = 3,2$ sek.
Teplota $T = 22,7$ °C
Výška rezervoáru $h = 30$ cm
Citlivosť $c = 1/20$
Vzorka: 0,025 m roztok NaCl
Krivka 1.: Vzorka 10 minút prebublaná vzduchom
Abscisa 1.: od napäťia 0,0 V
Krivka 2.: Prídavok 3 kvapiek 0,5% na potlačenie maxima
Abscisa 2., od napäťia 0,0 V.

Táto sa vzala za základ pri vypracovaní polarografickej metódy na stanovenie rozpusteného kyslíka.

Podľa metódy jediného potenciálu [14a] je základom kvantitatívneho stanovenia kyslíka vzťah medzi výškou prvého kyslíkového stupňa a koncentráciou rozpusteného kyslíka. Nie je potrebné zaznamenať celú krivku intenzita — napätie. Obsah kyslíka sa stanoví podľa veľkosti prúdu pri určitom jedinom potenciáli. Znázornením je bod na plošine prvej kyslíkovej vlny. Pri tomto konštantnom potenciáli sa prevádzka celé meranie. Zaznamenaná sa výchylka galvanometra zodpovedajúca vzorke v polarografickej nádobke. Potom sa vzorka zbaví kyslíka preháňaním dusíka. Zaznamenaná sa druhá výchylka galvanometra, ktorá zodpovedá zbytkovému prúdu. V roztokoch jednoduchých elektrolytov je zbytkový prúd malý, ale v zložitom biologickom komplexe, akým je vetrana zápara, nemôžno túto veličinu zanedbať.

Meranie zbytkového prúdu umožňuje opravu výsledkov za prítomnosti rôz-

ných polarograficky aktívnych látok v zápare, ktoré zapričinujú vznik pouzoriteľného prúdu pri jednom použitom potenciáli popri kyslíku. Ako hodnota prúdu, zodpovedajúceho koncentrácií kyslíka, sa berie rozdiel medzi prvou a druhou výchylkou galvanometra. Grafickým znázornením závislosti veľkosti prúdu pri jednom potenciáli na koncentrácií rozpusteného kyslíka vo vzorke dostaneme kalibráčnu krivku, ktorá slúži na vyhodnotenia údajov ďalších meraní.

Kalibrácia kvapkovej ortuťovej elektródy sa prevádzka pomocou roztokov so známym obsahom kyslíka. Stanoví sa rozpustnosť kyslíka v roztokoch soli stúpajúcej koncentrácie. Zostrojí sa krivka rozpustnosti kyslíka v týchto roztokoch. Potom sa zmeria maximálna výchylka galvanometra v jednotlivých roztokoch, nasýtených vzduchom pri tej istej teplote, pre ktorú platí krivka rozpustnosti.

Súčasne sa zaznamená výchylka pre zbytkový prúd. Rozdiel obidvoch výchylek je opravená výchylka galvanometra. Kalibráčna krivka sa zostrojí nanesiením hodnôt koncentrácie rozpusteného kyslíka na os x a opravených výchylek na os y. Táto závislosť je priamková. V literatúre [15a] bol použitý pracovný potenciál $-0,5$ V voči štandardnej kalomelovej elektróde. Pretože uvedená metóda vyžaduje prácu pri potenciáli konštantnom a nezávisom od druhu elektrolytu, bola použitá ako vziažná elektróda — anóda — nasýtená kalomelová elektróda.

Merania boli prevádzkané na mikropolarografe — systém Heyrovský. Sústavu elektród tvorila kvapková ortuťová katóda a nasýtená kalomelová anóda spojené agarovým môstikom. Natoliko nebola k dispozícii špeciálna polarografická nádobka pre prácu s odelenou vziažnou elektródou, pracovalo sa s improvizovanou nádobkou. Nádobka bola trojramenná. Najširšie rameno slúžilo ako vzorková časť, stredné rameno ako anódový priestor, spojené boli agarovým môstikom, ktorý vyplňoval aj celé tretie rameno nádobky.

Nádobka bola ponorená v lieviku s vodou, kvôli udržaniu stálej teploty vzorky. Vzorková časť nádobky bola uzavretá $3\times$ vtanou gumovou zátkou pre kapiláru, prívod a odvod vzduchu a pridávanie vzorky a vody na vymývanie. Meranie bolo prevádznené za nasledujúcich podmienok:

napätie odoberané zo 4 V akumulátora;

konštantné napätie odvinuté z potenciometrického drôtu $-0,55$ V voči štandardnej kalomelovej elektróde;
teplota 30°C ;

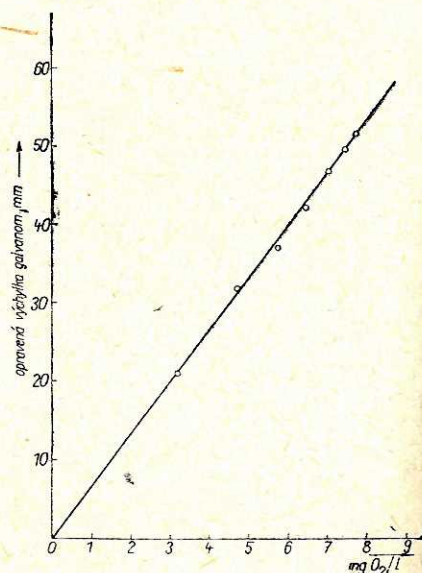
rýchlosť kvapkania ortuti 3—3,5 sek.;

výška ortuťového stĺpca 30 cm;

citlivosť 1/7.

U vzoriek, ktoré neobsahovali žiadon elektrolyt, bol používaný ako základný elektrolyt roztok KCl a na potlačenie kyslíkového maxima 0,5 % roztok želatiny.

Kalibrácia bola robená pomocou roztokov KCl stúpajúcej koncentrácie. Najprv bola stanovená maximálna rozpustnosť kyslíka v týchto roztokoch pri 30°C opisanou Winklerovou metódou (tab. 6). Vzorky boli nasýtené vzduchom v premývačke s fritovým dnom za 30—60 minút.



Obr. 7 — Závislosť výchylky galvanometra na koncentráciu rozpusteného kyslíka pri 30°C .

Objem vzorky bol 320 ml, rýchlosť vzduchu 1 liter/min.

Potom bola pre každú vzorku zaznamenaná výchylka galvanometra po nasýtení vzduchom a výchylka pre zbytkový prúd po odstránení kyslíka dusíkom. Údaje závislosti opravenej

Koncentrácia KCl	Spotreba 0,1 N $\text{Na}_2\text{S}_2\text{O}_3$ na	Spotreba 0,1 N $\text{Na}_2\text{S}_2\text{O}_3$ na	mg O ₂ /l
	slepý pokus ml	vlastný pokus ml	
0,01 m 60 min.	14,8	17,2	7,0
30 min.	15,0	17,7	7,86 7,67
60 min.	15,1	17,9	8,15
0,2 m	15,1	17,65	7,40
0,5 m	15,1	17,50	6,98
1,0 m	15,1	17,30	6,40
2,0 m	15,1	16,7	4,67
3,0 m	15,1	16,2	3,20

Tabuľka 6

výchylky galvanometra na koncentráciu rozpusteného kyslíka sú v tab. 7.

Grafickým znázornením opravenej výchylky galvanometra a koncentrácie rozpusteného kyslíka stanovenej podľa Winklera je priamka (obr. 7). Z tohto grafu bola zistená koncentrácia rozpusteného kyslíka pri ostatných mera- niach. Výhodou tohto spôsobu kalibrá- cie je práca so vzorkami nasýtenými vzduchom.

Merania polarografickou metódou boli prevádzané v podmienkach zhod- ných s Kočergovou a Winklerovou metódou. Vzorky boli odoberané 10 ml injekčnou striekačkou. Na zastavenie činnosti mikroorganizmov bol použitý fenol. Výsledky meraní sú v tab. 8.

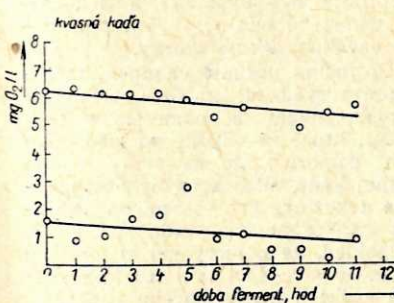
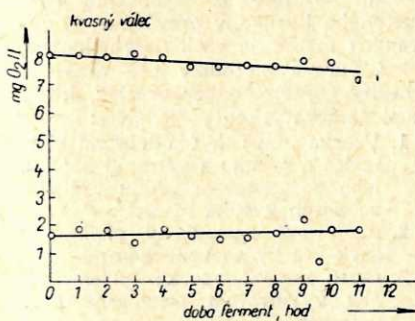
Polarografickou metódou bola sta- novená koncentrácia rozpusteného kys- líka počas kvasenia v kvasnom valci (20 litrov) a v kvasnej kadi (v pre- vádzke). Vzorky boli odoberané každú hodinu injekčnou striekačkou 10 ml, v ktorej bol 1 ml fenolu. Z valca boli vzorky odoberané cez vypúšťací otvor, v kvasnej kadi zo vzorkovača. Polaro- grafická nádobka bola vopred pre- fúkaná dusíkom. Najprv bola stanovená okamžitá koncentrácia rozpusteného kyslíka c_L , potom bola vzorka na- sýtená vzduchom a zmerala sa výchyl- ka pre maximálnu koncentráciu c_i a nakoniec výchylka pre zbytkový prúd. Rozdiel maximálnej a okamžitej kon-

Konzentrácia KCl	Výchylka galv. po nasýtení O_2 mm	Výchylka pre zbytkový prúd mm	Opravená výchylka mm	mg O_2/l podľa Winklera
0,01 m	51—56 52—57	2,5	52,0	7,67
0,2 m	52—55 52—55	3,5	50,0	7,40
0,5 m	51—53 51—53	5,0	47,0	6,98
1,0 m	47—51 47—50	6,5	42,5	6,40
2,0 m	54—57 54—57	23,5	32,0	4,67
3,0 m	27—29 27—29	7,0	21,0	3,20

Tabuľka 7

Vzorka	Min.	Výchylka galvanom. mm	Výchylka pre zbytkový prúd mm	Opravená výchylka mm	mg O_2/l ci
Destil. voda	0 15	3,0 48—50	2,5 2,5	0,5 46,5	0,10 6,92
Studn. voda	0 15	4,5 47—49	2,5 3,5	2,0 44,5	0,30 6,60
Sacharóza 2%	0 15	3,0 39—42	2,5 2,0	0,5 38,5	0,10 5,77
Alkohol 2%	0 15	3,0 20	2,0 2,0	1,0 18,0	0,15 2,70
Melasa 4% Bg	0 15	— 35,0	— 7,0	— 28,0	0,89 4,17
Kvasiacia zápara		47—52	15,0	34,5	5,12

Tabuľka 8



Obr. 8 — Priebeh koncentrácie rozpusteného kyslíka počas fermentácie.

centrácie $c_i - c_L$ zodpovedá hnacej sile absorpcie.

Výsledky meraní sú v tab. 9 a 10.

Pri meraní koncentrácie rozpusteného kyslíka v kvasnom valci nebola upravovaná nulová poloha galvanometra.

Pretože bol značný rozptyl bodov, bola prevedená korelácia hodnôt a boli zestrojené regresné priamky, znázorňujúce najpravdepodobnejší priebeh

Hod.	Sacharizácia °Bg	pH	Teplota °C	Okamžitá konc. c_L mg O_2/l	Rovnovážna konc. c_i mg O_2/l	$c_i - c_L$
1	1,5	4,30	30	1,85	8,10	6,25
2	1,4	4,39	30	1,80	8,00	6,20
3	1,4	4,21	29	1,35	8,10	6,75
4	1,6	4,27	29	1,85	8,00	6,15
5	1,9	4,57	30	1,60	7,70	6,10
6	1,8	4,77	30	1,50	7,65	6,15
7	1,8	4,93	29	1,50	7,70	6,20
8	2,0	4,94	30	1,65	7,70	6,05
9	1,8	5,25	30	2,15	7,85	5,70
10	1,8	5,48	30	1,85	7,80	5,95
11	1,9	5,42	30	1,72	7,12	5,40
12	1,8	5,40	30	—	—	—

Tabuľka 9

Hod.	Sacharizácia °Bg	Acidita N NaOH/100 ml	c_L mg O_2/l	c_i mg O_2/l	$c_i - c_L$
1	1,4	0,6	1,27	6,02	4,75
2	1,4	0,6	0,82	6,32	5,50
3	1,5	0,6	1,05	6,17	5,12
4	1,6	0,7	1,62	6,10	4,48
5	—	—	1,77	6,10	4,33
6	1,3	0,8	2,75	5,90	3,15
7	1,4	0,8	0,90	5,22	4,32
8	1,5	0,9	1,05	5,60	4,55
9	1,6	0,9	—	—	—
10	1,8	0,9	0,50	4,90	4,40
11	1,9	0,8	0,15	5,40	5,55
12	2,0	0,6	0,85	5,65	4,80

Tabuľka 10

okamžitej a maximálnej koncentrácie rozpusteného kyslíka počas kvasenia. Grafické znázornenie je na obr. 8.

Pomocou polarografickej metódy bol sledovaný časový priebeh spotreby rozpusteného kyslíka kvasinkami počas kvasenia v kvasnom valci a v kvasnej kadi. Vzorka kvasiacej záparu (zriadená melasou 1 : 10) sa v polarografickej nádobke nasýtila vzduchom. Potom sa prúd vzduchu zastavil a v 15sekundových intervaloch sa zaznamenávala klesajúca výchylka galvanometra (len vrcholky oscilácií); po ustálení na najnižšej hodnote sa zmerala výchylka pre zbytkový prúd.

Závislosť úbytku koncentrácie rozpusteného kyslíka na čase je znázornená na obr. 9 a 10.

Súhrn

Metoda sulfitovej oxydácie sleduje prestop kyslíka na systéme bubliniek vzduchu a roztoru sŕcičitanu. Je väzne otázkou, či možno výsledky tohto postupu s plnou platnosťou aplikovať aj na prestop kyslíka v kvasiacej tekutine, kde ide o systém: vzdušné blinky — substrát — živá bunka.

Metoda sulfitovej oxydácie je vhodná pre modelové pokusy, keď máme posúdiť tvar nádoby, rozmery nádoby, spôsob a intenzitu vetrania, veličiny charakterizujúce hydrodynamické pomer vo fermentovanej tekutine (výška kvapalinového stlpca, veľkosť, rýchlosť a dráha bubliniek, viskozita, povrchové napätie), účinok miešania a iné veličiny ktoré sa uplatňujú pri odvodení kritérií podobnosti vystupujúcich vo fyzikálne chemických vzťahoch platných aj pre vetranie kvasných substrátov, nakoľko ide o absorčný pochod.

Kočergova metoda vyhovuje pre bezfarebné a číre roztoky. Pôvodne bola použitá pri víne. V prípade farebných a zakalených roztokov je takmer nemožné postihnúť ekvivalentný bod. To zavíňa nepresnosť meraní a skresľuje výsledky. Bola by žiadúca taká úprava prístroja, aby sa mohla použiť potenciu metrická titrácia.

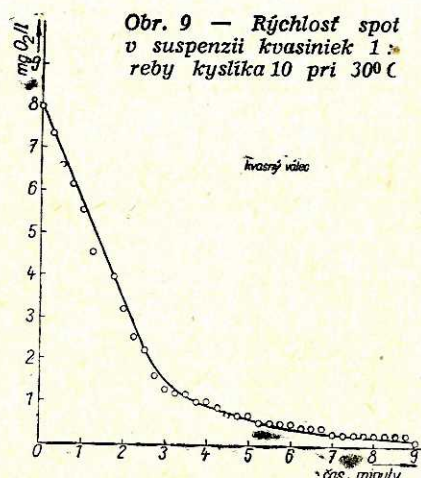
Výhodou Kočergovej metody je jej veľká citlivosť oproti kyslíku. Farebná zmena roztoru indigokarmínu, vyvolaná aj stopami kyslíka, indikuje každú netesnosť aparátury alebo nečistý plyn. Ďalšou výhodou je práca v inertnej atmosfére a odvzdušňovanie použitých roztokov a aparátury.

Nevýhodou je krehká aparátura, nevhodná obsluha a zdĺhavé stanovenie, ako aj veľká spotreba dusíka.

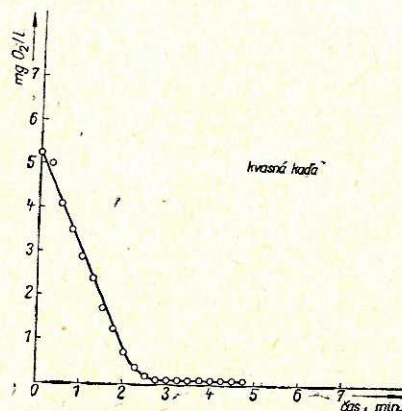
Oproti Winklerovej metode je rýchlejsia, používané roztoky sú ovzdušňované. V porovnaní s polarografickou metódou je komplikovanejšia a zdĺhava.

Winklerova metoda je jednoduchá, nevyžaduje okrem kalibrovaných flášiek žiadne zariadenie. Dáva spoľahlivé výsledky pre vodné a bezfarebné roztoky. Bola použitá pri všetkých spoľahlivých polarografických metódach ako štandardná metoda na kalibráciu. Titrácia melasy a záparu je obťažná a

Obr. 9 — Rýchlosť spotreby kyslíka v suspenzii kvasiniek 1 : 10 pri 30°C



Obr. 10 — Rýchlosť spotreby kyslíka v suspenzii kvasiniek 1 : 10 pri 30°C.



bola by presnejšia, keby sa Winklerova skôr ako za 3 minuty spotrebovali rozpustený kyslík, ktorého obsah klesol až na spodnú hranicu. Je potrebné stanovať súčasne s koncentráciou kyslíka aj sušinu kvasiniek.

Celkovú problematiku nemožno vysvetliť z dvoch-troch pokusov, čo ani nebolo úlohou témy. Dokazuje sa však, že stanovením rozpusteného kyslíka v substráte počas fermentácie príde sa na mnohé dôležité veci a ozrejmia sa niektoré doteraz nejasnené pochody spojené s vetraním v droždiarenstve.

Opisáná polarografická metoda sa nehodi na plynulé stanovenie rozpusteného kyslíka v prevádzke. Z vybraných metód je však najvhodnejšia.

Pri úprave metodiky pre praxi je dôležitý správny odber vzoriek, ktorý musí splňovať tieto požiadavky:

1. Vzorka musí byť odobraná očami a priamo z vetranej záparu, lebo po zastavení prúdu vzduchu sa obsah kyslíka mení;
2. musí byť zamedzený akýkoľvek styk vzorky so vzduchom;
3. musí byť vzorka priemerná, aby vyjadrovala priemerný stav vetrania v kádi;
4. musia byť okamžite a dokonale usmrtené bunky, aby nespotrebovali kyslík zo vzorky.

Ked' máme posúdiť vhodnosť metódy pre prevádzku, musíme prihliadať k podmienkam a pomerom v prevádzke, ktoré sú odlišné od laboratórnych pomerov. Je to veľký objem kvasnej kade, silno spenený obsah, vŕenie tekutiny. Pri vetraní sa vytvárajú určité cesty vzduchu a je predpoklad, že pomery pri stenách sú iné ako v strede, a tak isto aj v rôznych výškach kvapalinového stlpca.

Polarografická metoda je pre prevádzkové stanovenia pri väčšom počte kvasných kadi dost ľahkopádná a vyžaduje zaškoleného pracovníka. Pre prax by sa zdala najvhodnejšou metódou, ktorou by sa stanovaloval kyslík hned pri kadi a plynule v zápare, prúdiacej vzorkovou nádobkou, alebo diferenčná metoda, pri ktorej sa stanovuje obsah kyslíka v odchádzajúcich plynoch pri známom množstve vháňaného vzduchu buď na základe využitia vysokej magnetickej susceptibilitu kyslíka, alebo zmien parciálneho tlaku kyslíka v plynnej fáze.

Záver

Vyskúšaná a zhodnotená bola metóda sulfitovej oxydácie, Kočergova, Winklerova a polarografická metóda. Ukázalo sa, že najvhodnejšia je metóda polarografická. Boli prevedené fermentačné pokusy zamerané na sledovanie okamžitej a maximálnej koncentrácie rozpusteného kyslíka v priebehu kvasenia.

Bol sledovaný časový úbytok kyslíka v suspenzii kvasiniek.

Literatúra.

- [1] KOSSACZKY E., SUROVÝ J.: Chemické inžinierstvo II. (Vysokoškol. skriptá).
- [2] RAMM V. M.: Absorpčné pochody v chemickom priemysle.
- [3] KOCKOVÁ-KRATOCHVÍLOVÁ A.: Praktikum technickej mikrobiológie.
- [4] Kolektív Katedry analytickej chémie: Fyzikálne a špeciálne metódy analytické (Vysokoškol. skriptá).
- [5] HEYROVSKÝ-ZUMAN: Úvod do praktickej polarografie.
- [6] MAJER V.: Polarografické rozbor.
- [7] Nepublikovaná literatúra Kvasného priemyslu, n. p., Trenčín, po jednávajúca o vetráni droždiarskych zápar.
- [8] AGABALJANC G. G.: Chimiko-technologičeskij kontrol proizvodstva sovjetskogo šampanskogo.
- [9] PLEVAKO E. A., BAKUŠINSKAJA O. A.: Mikrobiologičeskij i chimiko-technologičeskij kontrol drožževogo proizvodstva.
- [10] Umbrei, Burris, Stauffer: Manometričeskie metody izuchenija tkanevogo obmena.
- [11] Kvasný průmysl r. 1955 č. 12, r. 1956 č. 6.
- [12] Chemické listy r. 1954, str. 276-279.
- [13] Die Branntweinwirtschaft r. 1955 (Účinnosť vetrania v laboratórnych kvasných prístrojoch.)

[14] Analytical chemistry:

- a) r. 1947, str. 643-646.
- b) r. 1951, str. 1427-1431.
- c) r. 1951, str. 868-871.
- d) r. 1953, str. 187-188.
- e) r. 1954, str. 1927-1931.
- f) r. 1954, str. 1811-1815.
- g) r. 1954, str. 402-404.

[15] Industrial and engineering chemistry:

- a) r. 1950, str. 1792-1801.
- b) r. 1950, str. 1801-1809.
- c) r. 1944, str. 504-509.

[16] Chemistry and industry: r. 1955, str. 191-195.

Выходы

Исследовался и оценивался метод сульфитного окисления, Коцерга, Винклера и полярографический метод.

Найболее целесообразным оказался полярографический метод. Были сделаны ферментативные опыты с целью исследования имеющейся и максимальной концентрации растворенного кислорода в течение брожения.

Исследовалось понижение содержания кислорода в суспензии дрожжей в зависимости от времени.

Summary

Three methods of sulphite oxydation viz: Kočergov's, Winkler's and polarographic have been tested. The results underline the superiority of polarographic method. The tests with fermenting substances were aimed at determining the instantaneous and maximum concentration of dissolved oxygen during fermentation. Decrease of oxygen in the yeast suspension has been studied.